

بِسْمِ اللّٰهِ الرَّحْمٰنِ الرَّحِيْمِ



دانشکده مهندسی شیمی، نفت و گاز

پایان نامه کارشناسی ارشد

گرایش طراحی فرآیندها

عنوان

مدل سازی CFD میکرو راکتور تولید هیدروژن از متانول

توسط

نجمه چغاته

استاد راهنما

دکتر فرامرز هرمزی

۹۰ شهریور

این اثر ناچیز تقدیم به محضر پاک

شیدان کمنام سال های دفاع

بایاد شید کمنام آرمیده در دانشگاه سمنان

و شیدان والامقام جهاد علمی

بایاد مهندس شید احمدی روشن

تقدیر و مشکر

سیده پاس بر محضر حضرت حق می سایم که بی مدد او یعنی کار به سرانجام نخواهد رسید.

نیز از راهنمائی های استاد کر اتفاق دارد - آقای دکتر هرمزی - مشکر می نایم که شکر بنده، مقدمه شکر خالق است.

بوسه می قدردانی برستان زحمت کش پر و مادر و خانواده می بزرگوارم می زنم که صبرشان پشتونانه همیشگی ام بوده است.

و در انتها از همراهی های همیشگی، همسر همراهم قدردانی می نایم که صبرش را هکشا بود و لطفش توشه را ب.

چکیده

هدف از این پژوهش، مطالعه‌ی عددی فرآیند ریفرمینگ با بخار متانول درون یک میکروکanal صفحه‌ای با دیواره‌ی پوشش داده شده از کاتالیزور است که در آن به مقایسه مقاومت-های موجود در برابر واکنش برای تعیین وجود یا عدم وجود محدودیت‌های انتقال جرم، بررسی اثر پارامترهای سیال- گرمایی و نیز شکل سطح مقطع کanal بر روی بازده میکروکanal پرداخته شده است. برای این منظور معادلات بقا شامل معادله‌ی انتقال جرم، مومنتوم، حرارت و اجزاء همراه با واکنش شیمیایی با استفاده از دینامیک سیال محاسباتی حل شد. برای حل از روش حجم محدود و الگوریتم سیمپل استفاده شد.

برای بررسی اثر شکل مقطع، عملکرد کanal‌هایی با مقاطع مستطیل، ذوزنقه، مثلث و نیم دایره مقایسه شد. نتایج نشان داد که زاویه‌ی رأس در کanal مثلثی، همچنین نسبت‌های قاعده‌ی بزرگ به ارتفاع و قاعده بزرگ به قاعده کوچک در کanal ذوزنقه‌ای، مشخصه‌هایی موثر در تبدیل متانول هستند. به‌گونه‌ای که در شرایط مفروض، افزایش زاویه رأس در کanal مثلثی و نسبت قاعده‌ی بزرگ به ارتفاع در کanal ذوزنقه منجر به کاهش تبدیل متانول شد. همچنین تبدیل متانول در کanal مستطیلی همواره از کanal دایره‌ای بالاتر بوده و نیز از دو کanal مثلثی و ذوزنقه‌ی خاصی که فرض شد نیز بالاتر است. برای رسیدن به تبدیل یکسان در کanal‌های دایره، ذوزنقه و مثلث، نیاز به وزن بیشتری از کاتالیزور در کanal مثلثی است. برای کanal‌هایی با ارتفاع و پهنای برابر و عدد رینولدز برابر جریان ورودی، تبدیل در کanal مستطیلی با کanal ذوزنقه‌ای خاص بررسی شده نزدیک به هم و بالاتر از کanal مثلثی است. در این حالت افزایش نسبت قاعده‌ی بزرگ به قاعده‌ی کوچک در کanal ذوزنقه، تبدیل متانول را افزایش داد. جمع‌بندی این نتایج نشان می‌دهد که سطح مقطع راکتور میکروکanal می‌تواند در بهبود عملکرد آن موثر باشد و باید در انتخاب راکتور میکروکanal بهینه درنظر گرفته شود.

کلمات کلیدی: راکتور میکروکانال، هیدروژن، مтанول، ریفرمینگ، دینامیک سیال

محاسباتی

صفحه

فهرست عناوین

۱.....	۱.....	۱. مقدمه.....
۲.....		۱.۱ اهمیت و جایگاه پژوهش
۲.....		۱.۱.۱ جهان و چالش انرژی
۳.....		۱.۱.۲ پیل سوتی
۵.....		۱.۱.۳ تولید هیدروژن از متانول
۷.....		۱.۱.۴ دینامیک سیالات محاسباتی
۱۱.....		۱.۲ شرح مسئله و هدف کار
۱۲.....		۱.۳ مروری بر فصلهای گزارش
۱۴.....		۲. مقدمه‌ای بر میکروراکتور و مروری بر مطالعات انجام شده
۱۵.....		۲.۱ میکرو راکتورها
۱۶.....		۲.۱.۱ تفاوت میکروراکتور با راکتورهای متداول جاری
۱۷.....		۲.۱.۲ کاربرد میکروراکتورها
۱۸.....		۲.۱.۳ انواع میکروراکتور
۱۹.....		۲.۲ مروری بر مطالعات انجام شده
۱۹.....		۲.۲.۱ تولید هیدروژن از متانول
۲۱.....		۲.۲.۲ میکروراکتور با دیواره پوشش داده شده
۲۲.....		۲.۲.۳ ابعاد مدلسازی
۲۵.....		۲.۳ هندسه
۳۶.....		۳. جمع بندی مرور کارهای انجام شده
۴۱.....		۳. مدلسازی عددی
۴۲.....		۳.۱ تشریح مسئله
۴۴.....		۳.۲ هندسه
۴۵.....		۳.۳ معادلات حاکم
۵۰.....		۳.۴ مدل سرعت واکنش
۵۱.....		۳.۵ شرایط مرزی
۵۵.....		۳.۶ شبکه‌بندی

۴.۳ حل عددی ۵۶
4. نتایج شبیه‌سازی دینامیک سیال محاسباتی ۵۹
۱.۴ اعتبار سنجی ۶۰
۳.۴ بررسی مقاومت‌های موجود در برابر واکنش ۶۴
۳.۴ بررسی اثر دما ۶۸
۴.۴ بررسی اثر ترکیب خوارک ورودی ۶۹
۵.۴ بررسی اثر سرعت خوارک ورودی ۷۱
۶.۴ بررسی اثر هندسه کانال ۷۲
۱۶.۴ مقایسه‌ی تبدیل مтанول در کانال‌ها در شرایط هیدرودینامیکی برابر ۷۴
۲۶.۴ مقایسه‌ی تبدیل مtanول در کانال‌ها در میزان برابر کاتالیزور مصرفی و دبی یکسان خوارک ورودی ۹۱
۵. نتیجه‌گیری و ارائه‌ی پیشنهادات ۹۸
۱.۵ نتیجه‌گیری ۹۹
۲.۵ ارائه‌ی پیشنهادات ۱۰۱
۶. مراجع ۱۰۲

صفحه	فهرست شکل‌ها
	شکل ۱-۲: نمایی از قطعه‌ی مدل شده حاوی ۴ کانال موازی [۳۱] ۲۹
	شکل ۲-۲: اثر نسبت ارتفاع به طول کانال مستطیلی بر روی تبدیل مтанول در دماهای مختلف [۲۴] ۳۰
	شکل ۲-۳: نمایی از کانال مدل شده [۳۲] ۳۲
	شکل ۴-۲: متوسط ضریب انتقال حرارت بر حسب عدد رینولدز در کانال‌های مختلف [۳۵] ۳۴
	شکل ۵-۲: مقایسه‌ی تعداد مقالات عددی و تجربی منتشر شده در دهه‌ی اخیر در جامعه آماری بررسی شده ۳۶
	شکل ۶-۲: مقایسه‌ی موضوعی مقالات بررسی شده ۳۷
	شکل ۱-۳: طرح ساده‌ای از کانال مدل شده ۴۳
	شکل ۲-۳: نمایی از هندسه‌ی تولید شده برای نیمی از راکتور همراه با تبیین مرزها: I، O، S و W به ترتیب نشانگر مرز ورودی، خروجی، تقارن و دیواره ۵۲
	شکل ۳-۳: نمای بخشی از کانال شبکه‌بندی شده ۵۶
	شکل ۱-۴: نمایی از هندسه مدل شده و شبکه بندی آن ۶۱
	شکل ۴-۴: تغییرات تبدیل مтанول با تغییر نسبت وزن کاتالیزور به دبی مولی خوراک ورودی: خط پیوسته، بیانگر نتایج عددی کار حاضر و نقاط منفرد بیانگر نتایج کارتجربی لی [۲] ۶۳
	شکل ۳-۴: توزیع کسر مولی اجزای مخلوط گازی در صفحه میانی میکروراکتور در نسبت وزن کاتالیزور به دبی برابر با ۱/۴۴ (الف) مтанول، (ب) آب، (ج) هیدروژن، (د) دیاکسید کربن ۶۴
	شکل ۴-۴: متوسط تغییرات تبدیل مtanول نسبت به افزایش دمای ورودی در طول ۱/۰ متری کانال ۶۸
	شکل ۴-۵: تغییرات متوسط کسر مولی اجزا نسبت با تغییر نسبت مولی بخار آب به مtanول ورودی در صفحه خروجی راکتور در شرایط دبی مولی خوراک و دبی مولی مtanول ورودی ثابت ۷۰
	شکل ۴-۶: تغییرات متوسط تبدیل مtanول نسبت با تغییر نسبت مولی بخار آب به مtanول ورودی در صفحه خروجی راکتور در شرایط دبی مولی خوراک و دبی مولی مtanول ورودی ثابت ۷۱
	شکل ۷-۴: تغییرات متوسط تبدیل مtanول نسبت به تغییر سرعت خوراک ورودی در صفحه خروجی کانال ۷۲
	شکل ۸-۴: طرح ساده‌ای از سطح مقطع کانال‌های بررسی شده ۷۴
	شکل ۹-۴: متوسط تبدیل مtanول در طول کانال مثلثی با زوایای رأس ۶۰، ۴۵ و ۹۰ درجه در شرایط قطر هیدرولیک برابر سه کانال ۷۸
	شکل ۱۰-۴: متوسط تبدیل مtanول در طول کانال ذوزنقه‌ای در نسبت قاعده‌ی بزرگ به ارتفاع ۲/۲، ۱/۱ و ۰/۵ در شرایط قطر هیدرولیک برابر سه کانال ۸۱

شکل ۱۱-۴: متوسط تبدیل مтанول در طول کانال ذوزنقه‌ای در نسبت‌های قاعده‌ی بزرگ به قاعده‌ی کوچک، ۱/۵ و ۳/۵ در شرایط قطر هیدرولیک برابر سه کانال ۸۲	۲/۲
شکل ۱۲-۴: متوسط تبدیل مтанول در طول کانال‌هایی با سطح مقطع متفاوت در شرایط قطر هیدرولیک برابر کانال‌ها ۸۶	
شکل ۱۳-۴: تغییرات افت فشار در طول کانال‌هایی با سطح مقطع متفاوت در شرایط قطر هیدرولیک برابر کانال‌ها ۸۷	
شکل ۱۴-۴: نمایی از مقاطع کانال‌هایی با پهنا و ارتفاع برابر ۸۸	
شکل ۱۵-۴: نمودار تغییر متوسط تبدیل مтанول در طول کانال‌های ذوزنقه با نسبت قاعده‌ی بزرگ به کوچک ۱/۴ و ۲/۵ در شرایط پهنا و ارتفاع برابر کانال‌ها و عدد رینولدز برابر خوارک ورودی ۸۹	
شکل ۱۶-۴: تغییرات متوسط تبدیل مтанول در طول کانال با سطح مقطع متفاوت در شرایط پهنا و ارتفاع برابر کانال‌ها و عدد رینولدز برابر خوارک ورودی ۹۰	
شکل ۱۷-۴: تغییرات متوسط افت فشار در طول کانال با سطح مقطع متفاوت در شرایط پهنا و ارتفاع برابر کانال‌ها و عدد رینولدز برابر خوارک ورودی ۹۱	
شکل ۱۸-۴: تغییرات متوسط تبدیل مтанول در طول کانال‌هایی با سطح مقطع متفاوت در شرایط برابری دبی خوارک ورودی و مقدار کاتالیزور مصرفی ۹۴	
شکل ۱۹-۴: تغییرات دما در صفحه‌ی تقارن (الف) کانال مستطیلی (ب) کانال نیم‌دایره‌ای (ج) کانال ذوزنقه‌ای (د) کانال مثلثی، در شرایط برابری دبی خوارک ورودی و مقدار کاتالیزور مصرفی ۹۵	
شکل ۲۰-۴: تغییرات دما در خط میانی کانال با سطح مقطع متفاوت در شرایط برابری دبی خوارک ورودی و مقدار کاتالیزور مصرفی ۹۶	
شکل ۲۱-۴: تغییرات متوسط افت فشار در طول کانال با سطح مقطع متفاوت در شرایط برابری دبی خوارک ورودی و مقدار کاتالیزور مصرفی ۹۷	

صفحة	فهرست جداول‌ها
	جدول ۱-۲: برخی کارهای انجام شده در حوزه میکروراکتور مستطیلی [۲۵] ۲۶
	جدول ۲-۲: برخی از کارهای انجام شده در حوزهٔ شکل مقطع میکروراکتور ۳۸
	جدول ۲-۳: برخی از کارهای انجام شده در حوزهٔ شکل مقطع میکروکانال ۴۰
	جدول ۳: شرایط عملیاتی و خواص فیزیکی مورد استفاده [۱۵] ۴۴
	جدول ۳-۱: شرایط اولیه برای حل معادلات حاکم ۵۲
	جدول ۳-۲: شرایط مرزی برای حل معادلات حاکم در ورودی ۵۳
	جدول ۳-۳: شرایط مرزی برای حل معادلات حاکم در خروجی ۵۳
	جدول ۳-۴: شرایط مرزی برای حل معادلات حاکم در مرز تقارن ۵۴
	جدول ۳-۵: شرایط مرزی برای حل معادلات حاکم در دیواره ۵۴
	جدول ۳-۶: تبدیل مтанول در شبکه بندی‌های مختلف کانال ۵۵
	جدول ۴-۱: ترکیب خوراک ورودی ۶۹
	جدول ۴-۲: ابعاد کانال‌ها و شرایط عملیاتی ۷۵
	جدول ۴-۳: ابعاد کانال مثلثی در زوایای رأس مختلف ۷۶
	جدول ۴-۴: متوسط تبدیل مтанول به ازای سه اندازه از شبکه مختلف ۷۷
	جدول ۴-۵: اثر زاویهٔ رأس بر زمان تماس ۷۹
	جدول ۴-۶: ابعاد کانال ذوزنقه‌ای ۸۰
	جدول ۴-۷: تبدیل مtanول به ازای اندازه شبکه مختلف ۸۱
	جدول ۴-۸: ابعاد کانال ذوزنقه‌ای ۸۲
	جدول ۴-۹: اثر α بر روی زمان تماس ۸۳
	جدول ۴-۱۰: ابعاد کانال ذوزنقه‌ای ۸۵
	جدول ۴-۱۱: اثر γ بر روی زاویهٔ تماس ۸۸
	جدول ۴-۱۲: ابعاد کانال‌ها و شرایط عملیاتی ۹۳
	جدول ۴-۱۳: ابعاد کانال‌ها و شرایط عملیاتی ۹۳

نماد

غلظت جزء i در مخلوط	C_i
غلظت در سطح دیواره	C_s
ضریب نفوذ جرمی	D_{ik}
انرژی اکتیواسیون	E_a
ارتفاع کanal	h
هدایت حرارتی	k
ثابت بولتزمن	k_B
ضریب انتقال جرم	K_g
ثابت سرعت واکنش مشاهده شده	K_{obs}
ثابت سرعت واکنش	K_0
طول کanal	L
جرم مولکولی	M_w
تعداد اجزای شیمیایی در واکنش	N
فشار	P
ثابت عمومی گازها	R
دما	T
دماهی دیواره	T_w
پهنهای کanal	W
کسر مولی	X
کسر جرمی	Y
مختصات	x, y, z
مولفه‌های سرعت	U, v, w
تبديل متانول	η
تابع اولیه‌ی برخورد نفوذی	Ω_D
ویسکوزیته	μ
دانسیته	ρ
قطر موثر لنار- جونز	σ_{in}

زیر نماد

ولیه	<i>Initial</i>
ورودی	<i>in</i>
خروجی	<i>out</i>
دیواره	<i>wall</i>
مطلق	<i>abs</i>
عملیاتی	<i>op</i>
مخلوط گازی	<i>mix</i>
جزء در مخلوط	<i>i</i>
متانول	<i>me</i>
آب	<i>wa</i>

فصل اول

مقدمه

۱.۱ اهمیت و جایگاه پژوهش

در این پژوهش، مدل‌سازی دینامیک سیال محاسباتی تولید هیدروژن از متانول مورد بررسی قرار می‌گیرد. در بخش اول اهمیت تولید هیدروژن از متانول، میکروراکتورها و معرفی دینامیک سیال محاسباتی ارائه می‌شود.

۱.۱.۱ جهان و چالش انرژی

انرژی از دیرباز به عنوان موتور محرک جوامع بشری شناخته شده و با پیشرفت بشر بر اهمیت و تأثیر گذاری آن در زندگی افزوده شده است. با ازدیاد سریع جمعیت و گسترش جوامع شهری، تقاضای انرژی در جهان به شدت افزایش یافته است به گونه‌ای که پاسخ به آن را در صدر چالش‌های پیش‌روی سردمداران کشورها قرار داده است. تا چندین دهه قبل، سوخت‌های فسیلی مانند نفت، گاز و ذغال سنگ تنها بازیگران سناریوی تأمین انرژی جهان بوده‌اند اما روند نامناسب بهره‌گیری از این منابع، جهان را از یک سو با خطر اتمام این منابع و از سوی دیگر با اثرات مخرب زیست محیطی ناشی از احتراق آن‌ها روبرو کرده است.

آنگونه که آمارها نشان می‌دهد تا ۲۵ سال دیگر (سال ۲۰۳۵ میلادی) نیاز انرژی جهان، ۶۰ درصد افزایش می‌یابد. از سوی دیگر رشد بی‌رویه تولید گازهای گلخانه‌ای حاصل از سوزاندن سوخت‌های فسیلی، به شدت بر دمای زمین اثر گذاشته است، بگونه‌ای که اگر روند افزایش دمای زمین ادامه یابد، جهان در معرض نابودی قرار خواهد گرفت.

محدودیت منابع فسیلی و تأثیرات منفی آن بر روی محیط زیست، در کنار افزایش قیمت سوخت‌های فسیلی، منازعات سیاسی و تأثیرات آن بر روی ارائه‌ی انرژی پایدار از جمله دلایلی هستند که بسیاری از سیاستمداران و متخصصین مباحث انرژی و محیط زیست را به حرکت به سوی ایجاد ساختاری نوین مبتنی بر امنیت ارائه‌ی انرژی، حفظ محیط زیست و ارتقای کارایی

سیستم انرژی وادار کرده است. افزایش گرایش به سمت انرژی‌های نو مانند انرژی خورشیدی، انرژی باد و انرژی هسته‌ای دلیلی بر این مدعای است. در این بین هیدروژن یکی از بهترین گزینه‌ها برای ایفای نقش حامل انرژی در این سیستم جدید است.

هیدروژن بعنوان فراوان‌ترین عنصر موجود در سطح زمین به روش‌های مختلف قابل تولید است. از جمله ویژگی‌هایی که هیدروژن را از سایر گزینه‌های مطرح سوختی متمایز می‌کند، فراوانی، انتشار بسیار ناچیز آلاینده‌ها، برگشت‌پذیر بودن چرخهٔ تولید و کاهش اثرات گلخانه‌ای آن است. سیستم انرژی هیدروژنی به‌دلیل استقلال از منابع اولیه انرژی، سیستمی دائمی، پایدار، فناپذیر، فرآگیر و تجدیدپذیر است. پیش‌بینی می‌شود در آینده‌ای نه چندان دور تولید و مصرف آن بعنوان حامل انرژی در سراسر جهان گسترش یابد و اقتصاد هیدروژنی تثبیت شود؛ با این رویکرد، بسیاری بر این باورند که سوخت نهایی بشر هیدروژن بوده و بشر در آینده‌ای نه چندان دور عصر هیدروژن را تجربه خواهد کرد.

۲.۱.۱ پیل سوختی

عمل تبدیل انرژی شیمیایی موجود در هیدروژن به انرژی الکتریکی توسط دستگاهی به نام پیل سوختی انجام می‌شود. در واقع اهمیت فناوری پیل سوختی در یک سیستم انرژی بر پایه هیدروژن به گونه‌ای است که بسیاری آن را لوکوموتیو قطار توسعه عصر هیدروژن نامیده‌اند.

در بین سیستم‌های تبدیل انرژی، پیل‌های سوختی با ویژگی‌هایی چون بازده بالا، آلودگی پایین، آسان بودن سوخت‌گیری مجدد و گستردگی سوخت‌های قابل استفاده در آن، در سال‌های اخیر بسیار مورد توجه قرار گرفته‌اند. پیل سوختی، نوعی پیل الکترو شیمیایی است که انرژی حاصل از واکنش سوخت و اکسید کننده را مستقیماً به انرژی الکتریکی تبدیل می‌کند. بدنه‌ی اصلی پیل سوختی متشکل از الکترود آند، الکترود کاتد و الکتروولیت است. برای یک پیل سوختی

اکسید جامد، اکسیژن در کاند به یون اکسیژن کاهیده می‌شود. یون‌های اکسیژن به سمت آند از طریق یک الکترولیت مهاجرت کرده و با یک سوخت مانند هیدروژن واکنش می‌دهند تا الکترون، گرمای آب آزاد سازد.

در بین انواع پیل‌های سوختی مورد استفاده در وسایل قابل حمل، پیل سوختی غشای تعویض یونی به دلیل دمای عملکردی پایین، حجم کوچک و وزن سبک، رواج بیشتری یافته است. سوخت‌های مورد استفاده در این پیل‌ها، دانسیته‌ی حجمی بالاتری دارند. مثلاً دانسیته‌ی حجمی هیدروژن مایع ۲۵۰۰ وات بر ساعت است، در حالی که باتری‌های لیتیومی معمول تنها ۴۰۰ وات بر ساعت انرژی فراهم می‌کنند.

پیل سوختی حاوی واحد تهیه سوخت است که در آن سوخت مایع به گاز غنی از هیدروژن تبدیل می‌شود. برای کاربردهای قابل حمل، واحد تهیه سوخت باید کوچک و سبک وزن باشد. به همین دلیل در سال‌های اخیر تلاش‌هایی برای کوچک کردن راکتور مورد استفاده در آنها انجام شده است که نتیجه‌ی آن ظهرور میکروراکتورهایی است که دارای مزایایی نسبت به راکتورهای متداول هستند.

ویژگی اصلی میکروراکتورها، نسبت سطح به حجم بالا در مقایسه با راکتورهای معمولی است. ضرایب انتقال حرارت و جرم در آن‌ها بزرگ است و رژیم جریان اغلب آرام است. کنترل ویژگی‌های فرآیندی مانند دما، فشار و زمان افامت نیز در واکنش‌هایی که در حجم کوچک اتفاق می‌افتد، آسان‌تر است [۱]. طراحی میکروراکتور یکی از نکات مهم در رسیدن به بازده مطلوب در تولید هیدروژن است. هندسه‌ی مناسب راکتور می‌تواند انتقال گازهای واکنش دهنده و نیز کنترل گرمای را بهبود بخشدیده و در نتیجه نرخ تولید هیدروژن را افزایش دهد.

۳.۱.۱ تولید هیدروژن از متانول

بررسی‌ها برای انتخاب سوخت مورد نیاز پلی‌های سوختی غشای تعویض یونی نشان داده است متانول، هیدرورکربن مناسبی برای تولید هیدروژن است. زیرا می‌تواند در دماهای پایین (۰°C)، در مقایسه با دمای بالای مورد نیاز برای سایر سوخت‌های مرسوم مانند بنزین، اتانول و غیره، به هیدروژن تبدیل شود. همچنین حاوی سولفور یا سایر مواد سمی برای کاتالیزور واکنش تبدیل نیست. در ضمن ذخیره‌سازی و به‌کارگیری آن آسان است. اگرچه دانسیته‌ی انرژی متانول از سوخت‌های بنزینی و دیزلی پایین‌تر است اما یکی از مهم‌ترین موادی است که در آن نسبت هیدروژن به کربن زیاد بوده و محتوای انرژی بالایی دارد. این ماده در ایران ارزان و قابل دسترس بوده و میزان مونوکسیدکربن تولیدی آن، نیز بسیار کم است.

متانول می‌تواند به طور مستقیم برای تولید انرژی استفاده شده و یا در سیستم مبدل سوخت ابتدا به هیدروژن تبدیل شده و سپس از هیدروژن تولیدی برای تولید انرژی استفاده شود. روش‌های متداول برای تولید هیدروژن از متانول عبارتند از:

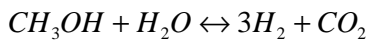
شکست مستقیم



اکسیداسیون جزئی



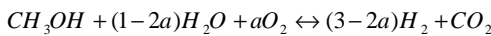
ریفرمینگ با بخار



(۳-۱)

$$\Delta H_{298}^0 = 49.5 \text{ KJ/mol}$$

ریفرمینگ اکسایشی



(۴-۱)

$$\Delta H^0 = (49.5 - 241.8 * 2a) \text{ KJmol}^{-1} \quad 0 \leq a \leq 0.5$$

در انتخاب واکنش مناسب برای تولید هیدروژن باید نکات زیر مورد توجه قرار گیرد.

- در پیل‌های سوختی هیدروژنی، حتی مقدار ناچیز مونوکسید کربن می‌تواند الکترود پلاتینی را خراب کند.
- با توجه به اینکه هیدروژن محصول اصلی است، لذا باید نسبت تولید آن به سایر محصولات بیشتر باشد.
- واکنش مورد نظر نیاز به دمای بالا نداشته باشد، چون در تبدیل دما بالای متنالو مونوکسید کربن تولید می‌شود.
- شرایط انجام واکنش باعث غیر فعال شدن کاتالیست نشود، زیرا یکی از راههای غیر فعال شدن کاتالیست، سمی شدن آن در اثر حرارت است.

در بین این فرآیندها، واکنش ریفرمینگ با بخار، غلظت بالا برای هیدروژن و غلظت پایین

برای منوکسید کربن را فراهم می‌کند. دمای انجام واکنش نسبت به سایر فرآیندها پایین بوده و

نسبت تولید هیدروژن به دیاکسید کربن در آن بالا است. به دلیل این ویژگی‌ها، استفاده از این فرآیند برای تولید هیدروژن، مطلوب به نظر می‌رسد. اگرچه به دلیل گرمایش بودن واکنش، نیاز به یک مبدل حرارتی درونی است و واکنش نیز کند است.

۴.۱.۱ دینامیک سیالات محاسباتی^۱

امروزه علوم محاسباتی نقش مهمی در حل مسائل علمی و فناوری ایفا می‌کنند به گونه‌ای که موفقیت بسیاری از شرکت‌ها و بخش‌های مختلف صنعتی، وابسته به میزان توانمندی آن‌ها در استفاده از روش‌های نوین محاسباتی است. شبیه‌سازی دینامیک سیال محاسباتی از آن جمله است. دینامیک سیال محاسباتی عبارت از تحلیل سیستم‌های شامل جریان سیال، انتقال حرارت و پدیده‌های همراه آنها نظیر واکنش‌های شیمیایی، براساس کدهای کامپیوتری است.

استفاده از دینامیک سیالات محاسباتی از ابتدای سال ۱۹۷۰ شروع شد. در آن زمان، از این مفهوم برای ترکیب فیزیک، ریاضیات عددی و در حالت پیشرفته‌تر، علوم کامپیوتر به کار برده شده برای شبیه‌سازی جریان‌های سیال استفاده می‌شد. پیشرفت‌ها در این حوزه وابسته به پیشرفت و تکامل فناوری کامپیوتری است. پیچیدگی‌های زیاد رفتار جریان از دلایلی است که موجب شده دینامیک سیال محاسباتی به کندی پیشرفت کند. امروزه، دینامیک سیال محاسباتی روش بسیار توانمندی است، بطوریکه طیف وسیعی از کاربردهای صنعتی و غیرصنعتی را در زمینه‌های هواپیمایی، توربو ماشین‌ها و ماشین‌ها و طراحی کشتی در بر می‌گیرد.

مزایای دینامیک سیال محاسباتی در طراحی سیستم‌های سیالاتی نسبت به روش‌های

تجربی:

- ۱) کاهش اساسی در زمان و قیمت طراحی‌های جدید

^۱ Computational Fluid Dynamic (CFD)